

8-4 近畿地方、日向灘沿岸の地殻変動連続観測結果

Continuous Observations of Crustal Deformations at Observation Networks in Central Kinki and Southeast Kyusyu District.

京都大学防災研究所地震予知研究センター
Research Center for Earthquake Prediction,
Disaster Prevention Research Institute, Kyoto University

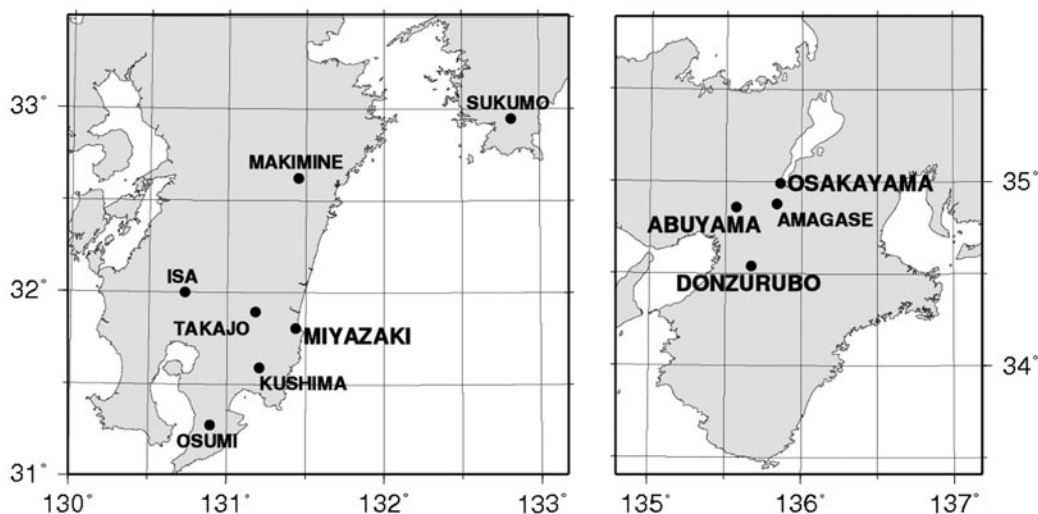
近畿地方および日向灘地殻活動総合観測線の主要点の坑道内歪観測結果の最近1年分を示す(2004年11月～2005年10月)。近畿地方では2003年から異常変動が続いており、現在もその傾向に大きな変化は見られない。¹⁾ そのため近畿の各点毎に1999年以後現在までの記録も合わせて示している。阿武山のN58E成分が2003年春以来の傾向を変えたように見えるが、2002年以前の季節変化の向きと一致しており、雨量の多寡にも影響されているので性急な判断はできない。屯鶴峯のこの1ヶ月の顕著な変動は降雨の影響がでていいる可能性が高いが近くで土木工事がされておりその荷重影響の量など今後のデータを待ち定量的な検討が必要である。

日向灘観測線では、本年9月はじめの、甚大な被害を出した14号台風による豪雨の影響が各点に現れている。特に内陸部に位置する槇峰(MAKIMINE)、伊佐(ISA)観測点で顕著に見られ、槇峰観測点では降雨による歪への影響はそのまま蓄積されていく傾向があるが、伊佐観測点では他の観測点同様、降雨による影響を回復する変動が見られ全期間を通してのトレンドとしては例年と変わらない。他の観測点もこの期間、宿毛(SUKUMO)、高城(TAKAJI)観測点の記録に伝送システムの変更等に伴うノイズによる乱れがあるが、特に目立つ有意な変化や歪レートの変動は見られない。

(文責 大谷文夫・寺石眞弘)

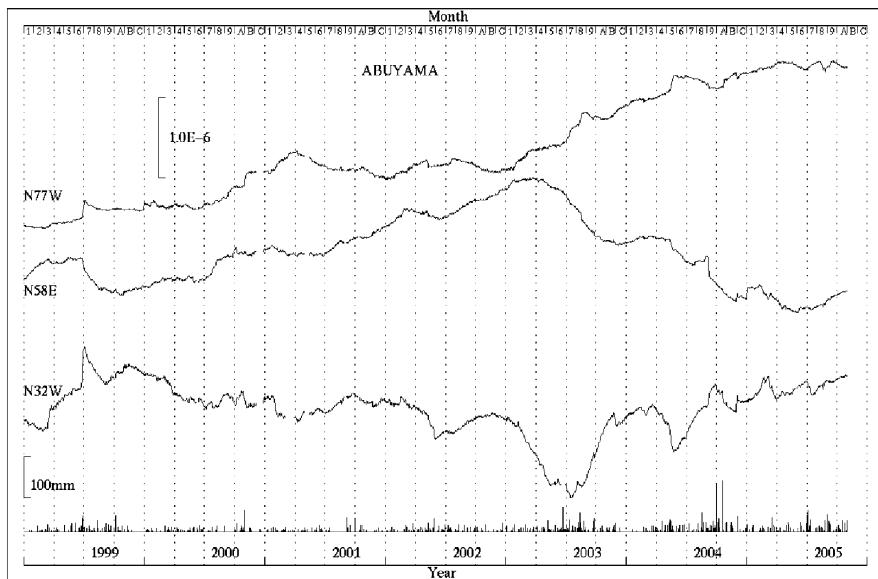
参考文献

- 1) 京都大学防災研究所地震予知研究センター、近畿地方の地殻変動連続観測、最近の結果および総合観測線最近1年の記録、連絡会報(73)、471-475。(2005)。

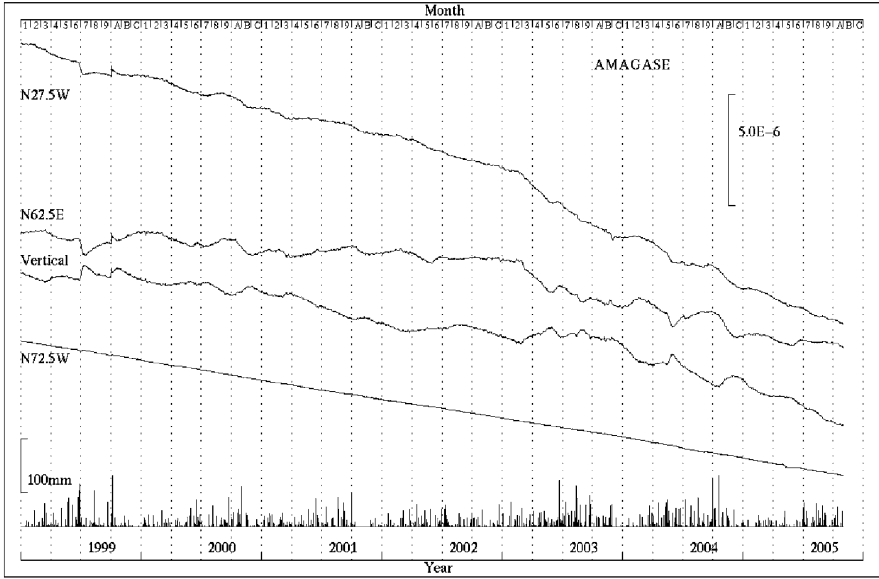


第1図 観測点位置図.

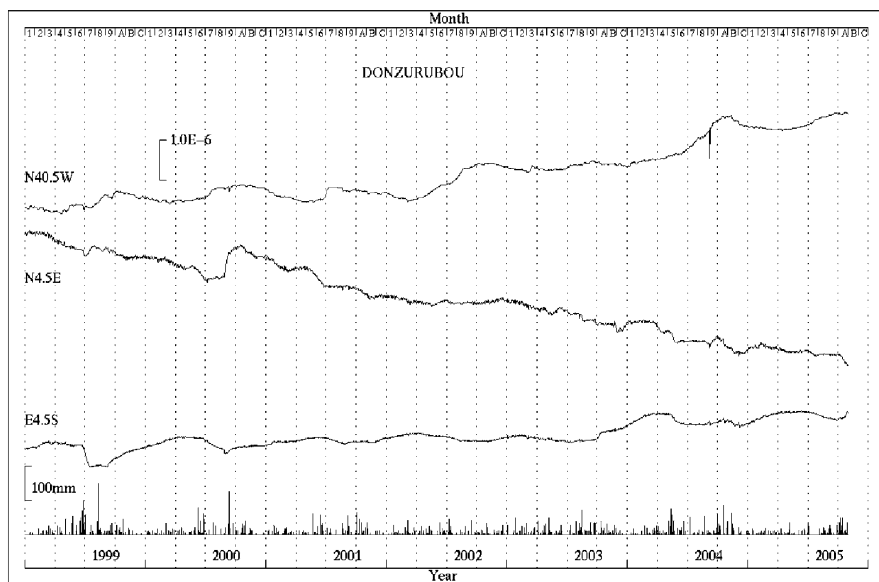
Fig. 1 Location maps of observatories.



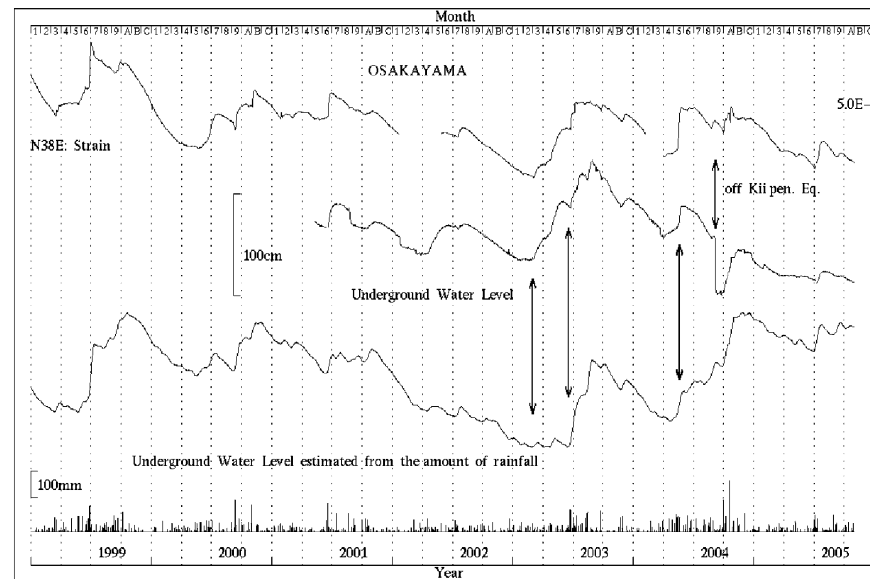
第2図 阿武山観測所における歪変化と日雨量
 上：1999年1月～2005年10月 下：2004年11月～2005年10月。
 Fig.2 Strain changes and daily precipitation at Abuyama observatory.
 upper:Jan. 1, 1999- Oct. 31, 2005 lower:Nov. 1, 2004 - Oct. 31, 2005.



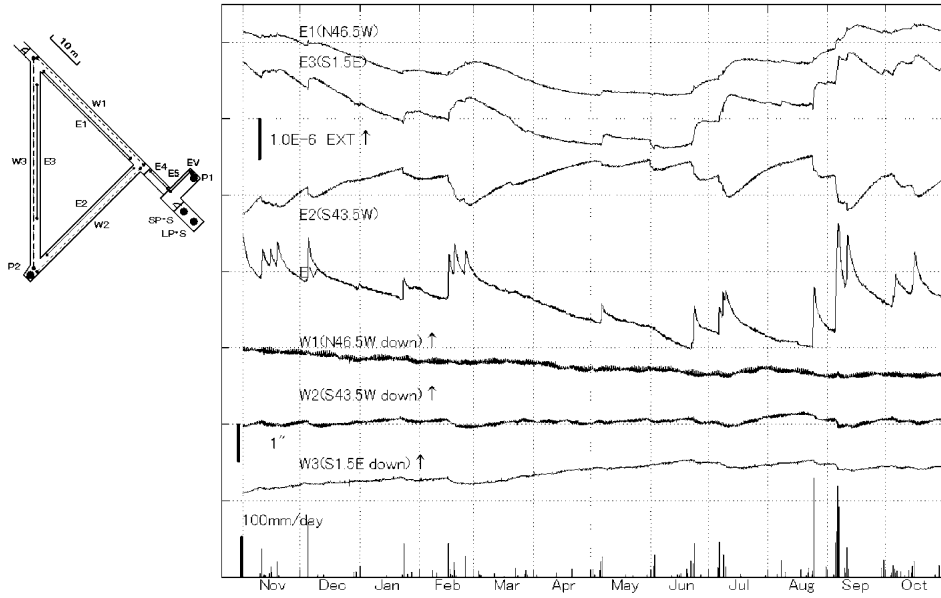
第3図 天ヶ瀬観測室における歪変化と日雨量。
 上：1999年1月～2005年10月 下：2004年11月～2005年10月。
 Fig.3 Strain changes and daily precipitation at Amagase station.
 upper:Jan. 1, 1999 - Oct. 31, 2005 lower:Nov. 1, 2004 - Oct. 31, 2005.



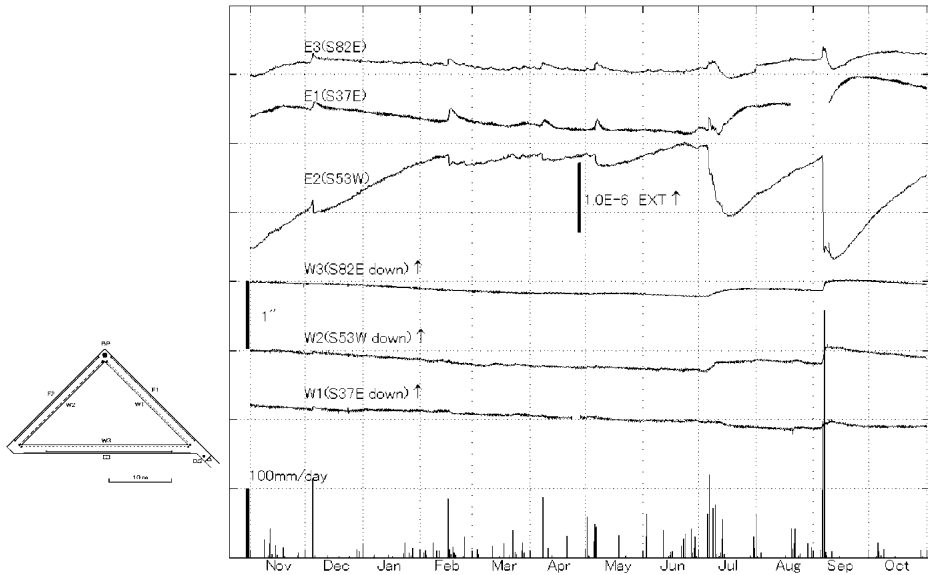
第4図 屯鶴峯観測所における歪変化と日雨量
 上：1999年1月～2005年10月 下：2004年11月～2005年10月。
 Fig.4 Strain changes and daily precipitation at Donzurubou observatory.
 upper:Jan. 1, 1999 - Oct. 31, 2005 lower:Nov. 1, 2004 - Oct. 31, 2005.



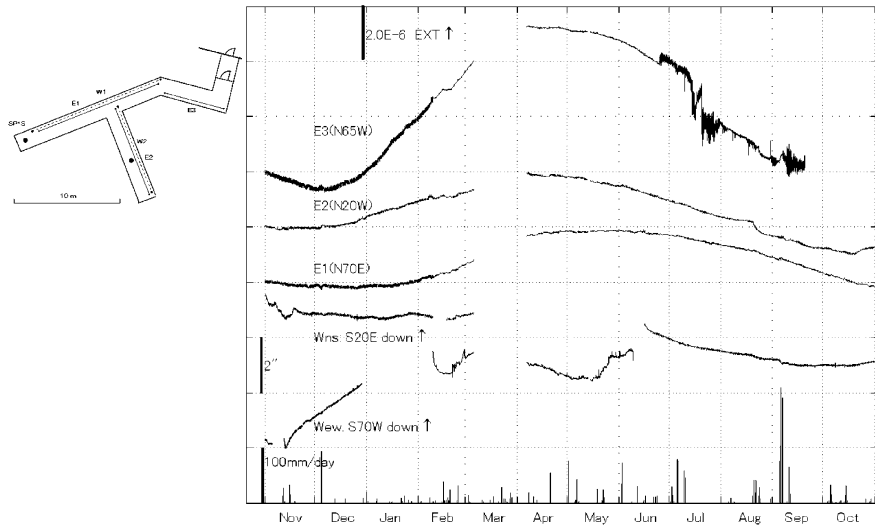
第5図 逢坂山観測所における歪変化，地下水位変化と日雨量
 上：1999年1月～2005年10月 下：2004年11月～2005年10月。
 上図には雨量から推定した地下水位もあわせて示す。
 Fig.5 Strain change, groundwater level change and daily precipitation at Osakayama observatory.
 upper:Jan. 1, 1999 - Oct. 31, 2005 lower:Nov. 1, 2004 - Oct. 31, 2005.
 Groundwater level estimated from the amount of rainfall is also plotted in the upper figure.



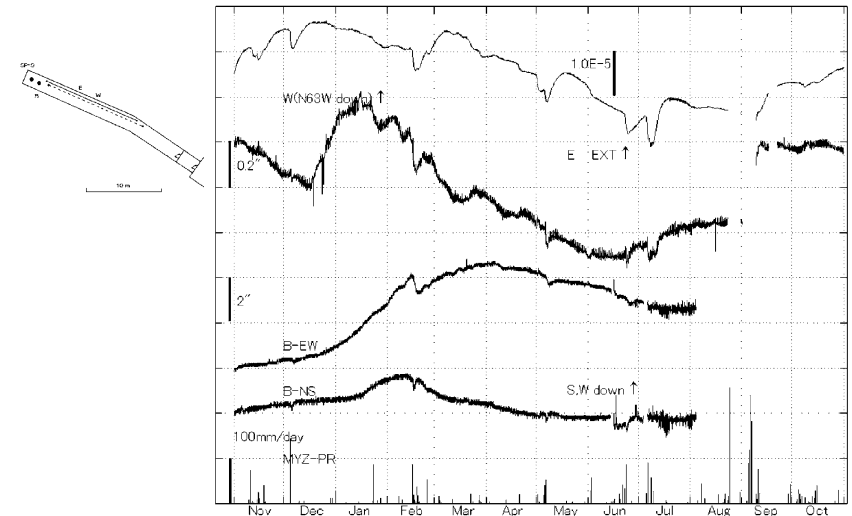
第 6 図 宮崎観測所における歪・傾斜変化と日雨量 (2004 年 11 月～2005 年 10 月).
 Fig.6 Strain changes, tilt changes and daily precipitation at Miyazaki observatory.
 (Nov. 1, 2004 - Oct. 31, 2005)



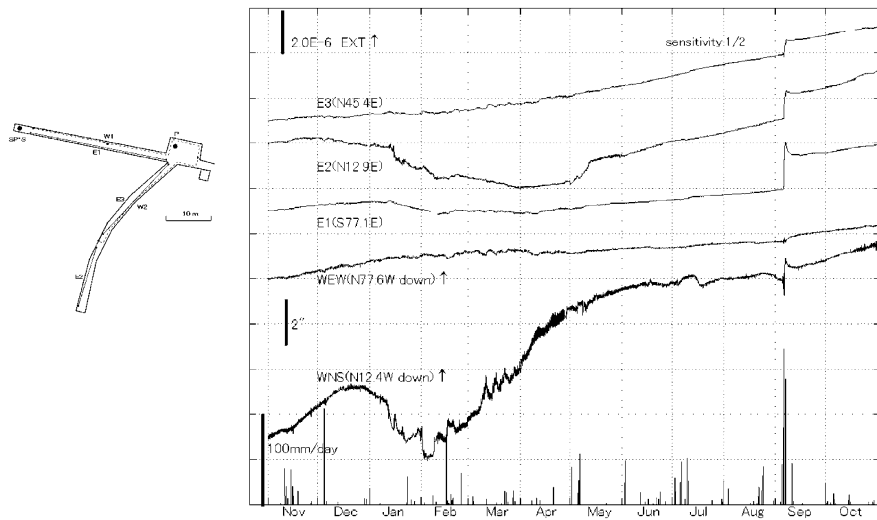
第 7 図 伊佐観測室における歪・傾斜変化と日雨量 (2004 年 11 月～2005 年 10 月).
 Fig. 7 Strain changes, tilt changes and daily precipitation at Isa station.
 (Nov. 1, 2004 - Oct. 31, 2005)



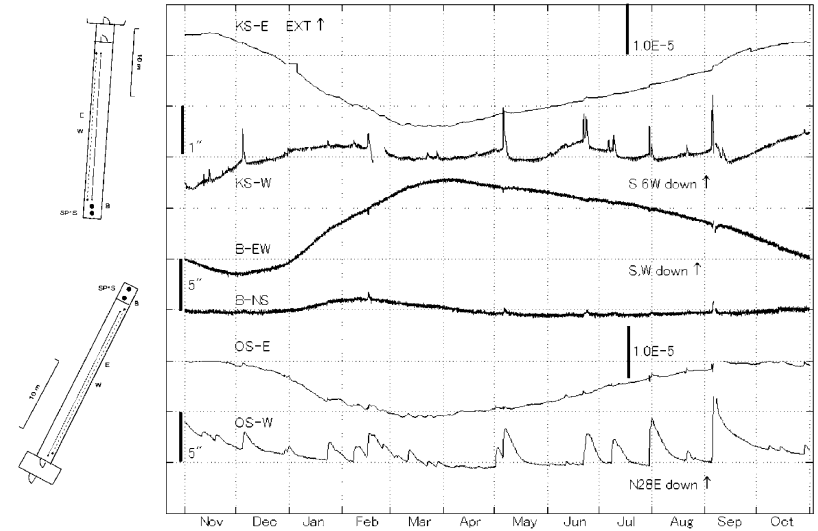
第8図 宿毛観測所における歪・傾斜変化と日雨量(2004年11月～2005年10月).
 Fig.8 Strain changes, tilt changes and daily precipitation at Sukumo station.
 (Nov. 1, 2004 - Oct. 31, 2005)



第10図 高城観測室における歪変化と傾斜変化(2004年11月～2005年10月).
 Fig.10 Strain changes and tilt changes at Takajo station.(Nov. 1, 2004 - Oct. 31, 2005)



第9図 槇峰観測室における歪・傾斜変化と日雨量(2004年11月～2005年10月).
 Fig.9 Strain changes, tilt changes and daily precipitation at Makimine station.
 (Nov. 1, 2004 - Oct. 31, 2005)



第11図 串間および大隈観測室における歪変化と傾斜変化(2004年11月～2005年10月).
 Fig.11 Strain changes and tilt changes at Kushima and Ohsumi station. (Nov. 1, 2004 - Oct.31, 2005)